

三井造船(株) 正員 池内昌弘

1. まわがき

橋梁部材や建築物等に見られる矩形断面柱は、空力的に鉛直形状であり、揚動振やギャロッピング等、種々な風による振動現象を呈し、断面比を変えていくとともに空力安定性を異にする。この中、ギャロッピングは準定常理論を用いて比較的よく説明され、静的空気力特性より断面比特性も示されてきている。しかし、低風速下発生する揚動振については、揚動数との共振風速より低い風速域下の発振現象などの非線形振動現象が見られるなど、揚動振の自励的性質と共にその現象がまだ充分に解明されていない。

こゝでは矩形断面柱の揚動振に着目し、まず断面比を変えて矩形柱の風洞実験より Wind \rightarrow の空力安定性の変化を調べ、次にモード現象による非線形振動現象が矩形柱の発振の非線形性から生じるか、揚動子モデルを用いて説明することを試みた。

2. 矩形柱の風洞実験

断面長の比 β_s が $3/6$ から $6/3$ までの 5 種類の矩形柱模型について風洞実験を行ない、空力安定性を調べた。模型はバルサ材を用いて軽くし、下端部の板ばねによる自由振動模型で、その特徴を表 1 に示した。

各模型の風速と振幅の関係を図 2 に無次元表示した。断面比が小さい Model $3/6$ はストローク数から見て共振風速下最大振幅を持つ单純な共振応答曲線を呈する。この時模型はその固有振動数下振動している。断面比が増すと Model $3/4$ になると共振曲線が高風速側にずれてくる。

正方形である Model $3/3$ になると共振風速から始まる応答曲線となり最大振幅は共振風速より高風速側にある。またこの場合から共振風速より低い風速域に小さな発振現象が見られるようになる。これを以下第 1 の発振山脈 I、これまでの共振風速下の発振を第 2 の発振と称すことにする。第 1 の発振は共振風速の $1/3$ 附近下発生 I、この時も模型はその固有振動数下振動している。Model $4/3$ になると第 1 の発振が大きくなり、且つ、高風速側下振動履歴や跳躍現象を呈し、不安定になりミットサイクル立替りようになり、また共振風速は共振風速のほぼ $1/2$ に移る。第 2 の発振は揚動振やギャロッピングに移行している。Model $6/3$ になると第 1 の発振は更に大きくなる。

このように断面比が大きくなるにつれ、矩形柱は Linear Oscillator から Non-Linear Oscillator に移行している。

第 1 の発振について更に、振動応答波形より空力減衰率 $\kappa_a = \frac{2m}{\rho H^2} da$ を求め検討した。図 3 より Model $3/3$ は第 1 発振時より夏の減衰率を持ち、Model $3/4$ でも更に減衰率を持ち、とすると傾向が認められ、第 1 の発振のための空気力は断面比が 1 より小さく場合で存在し、断面比と実に連続的に大きくなっていることが分かる。復量波形パラメータ $\frac{\partial \theta}{\partial t}$ が小さな場合、振動と存在現象が判る。

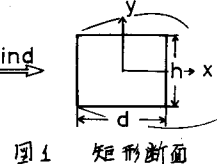


図 1 矩形断面

表 1 模型の諸性

Model	$2m/\rho H^2$	β_s	f_n
3/6	70	.0035	10.1 Hz
3/4	125	.0035	15.1
3/3	199	.0040	18.5
4/3	216	.0035	18.0
6/3	255	.0035	12.9

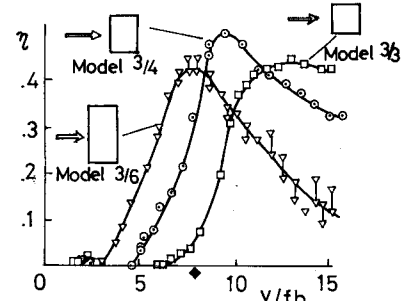


図 2(a) 応答曲線(I)

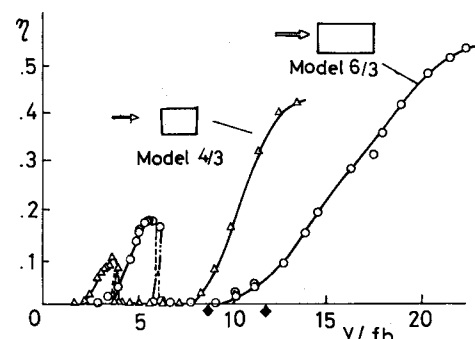


図 2(b) 応答曲線(II)

3. 湍振動子モデルによる解析

矩形柱の断面比を増すと、共振風速以外にその $1/3$ や $1/2$ の風速域で非線形変形が発生する。これを考慮する。矩形柱の湍振動子を図5, 6のように表す。図5の円柱の場合と異なり剥離点が前縁に固定し、剪断層が側面においてある角度 θ を持つ形で形成されてくる。このように表されると断面比が共に後流幅 H が大きくならる振動数の低下を意味し、振動数と断面比との関係に応じて図5のようになる。湍振動子が回転振動するごとに物体側面の影響により湍振動子が非対称となる。 θ の変化に差が生じ、 H が変化すると表される。これは矩形柱の湍振動数が風向変化に対する応答に応じて図5のようになる。

さて、 H は近似的に次のようになります。

$$H = R + d(\tan \theta_1 + \tan \theta_2) \approx R \{ 1 + d/R \cdot (\theta_1 + \theta_2) \} \quad (1)$$

\Rightarrow $\theta \approx \theta_1 + \theta_2$ と近似した。 θ_1, θ_2 が湍振動子の振動と共に変化するよして d の四次式で近似すると。

$$\theta_{1,2} = \theta/2 + A_{1,2}d + B_{1,2}d^2 + \dots = \frac{\theta}{2}(1 + A'_{1,2}d + B'_{1,2}d^2 + \dots) \quad (2)$$

$$\text{従って } H = R[1 + d/R \cdot \theta_0] + (A'_1 + A'_2)d + (B'_1 + B'_2)d^2 + \dots \quad (3)$$

となる。 d の一次の項までとし、 $A'_1 + A'_2 = C$ とおくと流れの非対称性より R は零以下に小さな値である。

$$H = R \{ (1 + d/R \cdot \theta_0) + dR \cdot \theta_0 \cdot C \cdot d \} \quad (4)$$

ここで、湍振動子の慣性モーメントは

$$I = G \cdot 2\theta L H (d + L)^2 \quad (5)$$

$$\text{復元力は } K \cdot \alpha = C_d \cdot \frac{1}{2} \rho U^2 \cdot (L + d) \cdot H \alpha \quad (6)$$

と表わせる。 \Rightarrow に C_d, C_d は比例定数である。

矩形柱の振動による力を $b\ddot{\alpha}$ とする。

$$I\ddot{\alpha} + K\alpha = b\ddot{\alpha} \quad (7)$$

以上の振動系を構成する。 \Rightarrow $L/H = C = \text{const}$ と表記。(5), (6) に

(4) を代入して整理すると、結局

$$I\ddot{\alpha} + R \cdot C \cdot d + O(d^4) = 0 \quad (8)$$

$$K = R + C \cdot d + O(d^4) \quad (9)$$

と表わせる。 \Rightarrow に R, C, d は断面比 d/H を含む係数で d/H が共に大きくなる。(8), (9) を (7) に入れると流体振動系は

$$(R + C \cdot d)\ddot{\alpha} + (R + C \cdot d) \alpha = b\ddot{\alpha} \quad (10)$$

といふ非線形振動方程式となる。振動後方と非線形振動方程式の解法に従う。

$$\alpha = p_1 \cos \omega t + p_2 \cos 2\omega t + p_3 \cos 3\omega t + \dots \quad (11)$$

の形の解を得る。一方、物体は湍振動子から $L_{ff} = f_m \cdot d$ (12)

なる動振力を受け、運動和共振解より、共振風速の $1/3$ や $1/2$ の整流が見られることがわかる。

4. 結論

矩形柱は断面比を増していくと、共振風速の $1/3$ 或いは $1/2$ 下で発振し、断面比が共に大きくなることと表される。これを湍振動子モデルを使って、振動による湍振動子の非対称性や後流幅の変化が生じ、これが流体振動系に非対称性を与える、断面比と共に非対称性が増すことににより説明した。

参考文献 著略

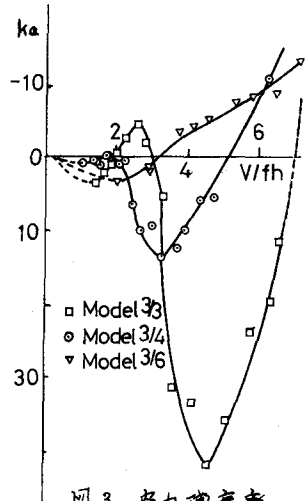


図3 空力減衰率

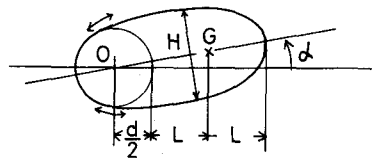


図4 円柱の湍振動子

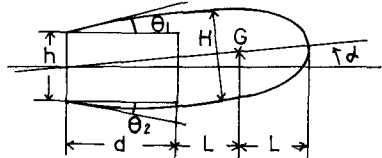


図5 矩形柱の湍振動子

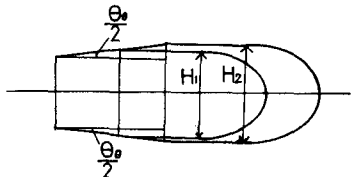


図6 断面比によるHの変化